

丹参羧化效率在其CO₂补偿点附近的变化

叶子飘¹,高峻^{2,3}

(1 井冈山大学 数理学院,江西 吉安 343009;2 北京林业大学 水土保持学院,北京 100083;

3 中国林业科学研究院 林业研究所,国家林业局林木培育重点实验室,北京 100091)

[摘要] 【目的】植物光合作用对CO₂的响应是光合作用研究的重要内容,当前应用广泛的Michaelis-Menten模型拟合所给出的植物光合能力远大于实测值,而所给出的饱和CO₂浓度远小于实测值,欲引入新模型解决上述问题。【方法】用构建的光合作用对CO₂浓度响应的新模型,拟合了丹参的CO₂浓度响应测量数据,并研究了低CO₂浓度条件下,丹参净光合速率对CO₂浓度的响应及羧化效率在CO₂补偿点附近的改变情况。【结果】用CO₂响应新模型拟合丹参的实测数据,在不需作其他附加假设条件下就可以给出丹参的饱和CO₂浓度、光合能力、光呼吸速率、CO₂补偿点及在CO₂补偿点的羧化效率,且拟合结果与实测结果符合很好($R^2=0.9996$)。【结论】在低CO₂浓度条件下,丹参植物叶片的净光合速率对CO₂浓度的响应为非线性的;在CO₂补偿点附近,羧化效率并非常数,而是随CO₂浓度的增加而减小。

[关键词] 丹参;新模型;CO₂补偿点;光合能力;饱和CO₂浓度

[中图分类号] Q945.11

[文献标识码] A

[文章编号] 1671-9387(2008)05-0160-05

Change of carboxylation efficiency of *Salvia miltiorrhiza* in the vicinity of CO₂ compensation point

YE Zi-piao¹, GAO Jun^{2,3}

(1 College of Sciences, Jinggangshan University, Ji'an, Jiangxi 343009, China; 2 College of Soil and Water Conservation, Beijing Forestry University, Beijing 100083, China; 3 Key Laboratory of Tree Breeding and Cultivation, State Forestry Administration, Research Institute of Forestry, Chinese Academy of Forestry, Beijing 100091, China)

Abstract: 【Objective】It is important to study the CO₂ response curve of leaf net photosynthesis. The values of photosynthetic capacity calculated by most extensively applied Michaelis-Menten model are much higher than measured values, and the saturation CO₂ concentration much lower than the measured values. These problems can be resolved by a new model of CO₂ response curve of leaf net photosynthesis. 【Method】A new model of CO₂ response curve of leaf net photosynthesis was given here, and data from CO₂ response experiment of *Salvia miltiorrhiza* was simulated. The response of photosynthetic rate to CO₂ concentration of *S. miltiorrhiza* under low CO₂ concentration and change of carboxylation efficiency in the vicinity of CO₂ compensation point were discussed in detail. 【Result】The main photosynthetic parameters, i.e. the saturation CO₂ concentration, photosynthetic capacity, photorespiration rates and CO₂ compensation point of *S. miltiorrhiza* were calculated by the new model without any additional hypotheses. 【Conclusion】The fitted results show that photosynthetic response to CO₂ concentration was nonlinear under low CO₂ concentration. The carboxylation efficiency was not a constant in the vicinity of CO₂ compensation point, and it decreased while CO₂ intercellular concentration increased.

* [收稿日期] 2007-05-21

[基金项目] 江西省科技厅农业攻关项目(吉市科技字[2006]21号)

[作者简介] 叶子飘(1964—),男,江西永新人,教授,博士,主要从事光合作用模型和光吸收机制研究。E-mail:yezp@jgsu.edu.cn

Key words: *Salvia miltiorrhiza*; new model; CO₂ compensation point; photosynthetic capacity; saturation CO₂ concentration

CO₂ 是植物光合作用的一种基本原料,是影响光合速率的重要因子^[1]。研究植物叶片尺度上的光合作用对大气 CO₂ 增加和温度升高的响应,是外推全球气候变化对生物圈影响的重要环节^[2],也是估计植被系统在全球气候变化过程中对 CO₂ 固定作用变化的基础^[3]。

在饱和光下,植物叶片的光合速率($P_n(C_i)$)对胞间 CO₂ 浓度(C_i)升高的响应可分为 3 个阶段^[1,4]:第 1 阶段为近似直线段(C_i 小于 200 μmol/mol), $P_n(C_i)$ 对 C_i 的响应近似线性,这段直线的斜率即为叶肉导度或羧化效率(Carboxylation efficiency,简称 CE),其反映加氧酶(Rubisco)量的多少与酶活性的大小,如果羧化效率较大,表明在较低的 C_i 下,有较高的 $P_n(C_i)$;第 2 阶段为曲线段(C_i 为 200~1 000 μmol/mol), $P_n(C_i)$ 随 C_i 的升高而较慢地增高;第 3 阶段几乎是直线(C_i 大于 1 000 μmol/mol), $P_n(C_i)$ 基本上不再随 C_i 的升高而上升,表明其已达到了饱和水平, $P_n(C_i)$ 达到最大,这时的光合速率反映了光合电子传递和光合磷酸化的活性,被称为叶片的光合能力。目前,多采用 Michaelis-Menten 模型^[5-8]或直接用二项式回归方法^[9-12],处理植物光合作用对 CO₂ 浓度的响应数据,其中以 Michaelis-Menten 模型应用最为广泛。但由于 Michaelis-Menten 模型是一条渐进曲线,无极值,所以无法给出植物的光饱和点和光合能力的解析解,必须采用其他方法。如要求出植物的饱和 CO₂ 浓度,须先假定 CO₂ 浓度在 0~200 μmol/mol 时光合速率的观察值近似一条直线,其与 X 轴(胞间 CO₂ 浓度, C_i)的交点就是 CO₂ 补偿点,该直线与 Y=A_{max}(光合能力)直线相交,交点所对应 X 轴的数值即饱和 CO₂ 浓度。

但在实际应用过程中,Michaelis-Menten 模型拟合植物光合作用对 CO₂ 浓度响应的数据,所得到的光合能力远大于实测值^[2-3,6-7],所得到的饱和 CO₂ 浓度远小于试验测量值^[8];而用二项式回归方法拟合植物光合作用对 CO₂ 浓度响应的数据,所得到的饱和 CO₂ 浓度和光合能力要远小于实测值^[10]。此外,现在的理论认为,在低 CO₂ 浓度条件下, $P_n(C_i)$ 对 C_i 的响应是近似线性的^[1,4]。所以,目前还没有一个光合作用对 CO₂ 响应模型能解决上述问题,特别是植物的光合能力远大于实测值、饱和 CO₂ 浓度

远小于实测值和在低 CO₂ 浓度条件下植物光合速率对 CO₂ 浓度的响应问题。

本文构建了一个植物光合作用对 CO₂ 响应的新模型,探讨了在低 CO₂ 浓度条件下,丹参(*Salvia miltiorrhiza*)叶片光合速率对 CO₂ 浓度的响应问题及羧化效率在 CO₂ 补偿点附近的变化情况;比较了新模型与 Michaelis-Menten 模型和二项式回归方法拟合丹参 CO₂ 响应数据的结果,并讨论了这 3 个模型的优缺点。

1 材料与方法

1.1 材 料

试验地设在河南省济源市裴村“太行山低丘陵区高效复合经营综合研究”试验区内(35°11'N, 112°03'E)。本研究的具体对象是水平梯田条件下杏树-丹参复合系统内的药用植物丹参。梯田南北宽 32 m,东西长 180 m,杏树株行距 3 m×4 m,密度 787 株/hm²,株高 2.4 m,南北冠幅 1.7 m,郁闭度 85%,树带行向为东西方向,杏树品种为“金太阳”,栽植于 1998 年。丹参为紫丹参,于 2004-04 根栽,行向同杏树,距树行 50 cm,株行距 20 cm×25 cm^[9]。

2004-07 选择 3 个晴天作为重复,分别选取观测点上丹参的充分展开叶,测定其在饱和光强条件下光合作用对 CO₂ 浓度的响应曲线。所用仪器为 Li-COR 6400 便携式光合作用仪(LI-COR Inc., Lincoln, NE, USA)。该仪器是一开放系统,可利用人工 CO₂ 源、CO₂ 混合器和 CO₂ 吸收器(CO₂ Scrubber),并能够在 0~2 000 μmol/mol 范围内精确调控 CO₂ 浓度。此外,将人工光源设为 1 000 μmol/(m²·s),将 CO₂ 浓度分别设置为 50, 87, 134, 235, 400, 600, 800, 1 000, 1 200 μmol/mol,由系统自动记录不同 CO₂ 浓度所对应的净光合速率,进行 CO₂ 响应曲线拟合^[9]。

1.2 数据处理与分析

利用 DPS 分析软件^[13]分析丹参 CO₂ 浓度响应曲线,本试验中的数据处理和分析采用作者构建的光合作用对 CO₂ 浓度响应的新模型:

$$P_n(C_i) = a \frac{1-bC_i}{1+cC_i} (C_i - \Gamma) \quad (1)$$

式中: a 、 b 、 c 为 3 个系数, C_i 为植物叶片的胞间 CO₂ 浓度, Γ 为植物的 CO₂ 补偿点。

由(1)式可知,当 $C_i=0$ 时,如果用 R_p 表示植物的光呼吸速率,则有:

$$P_n(C_i=0)=R_p=-a\Gamma。 \quad (2)$$

式(2)可用于计算植物的光呼吸速率,也是文献[1]的推论。

对式(1)求导,就可得到植物在不同胞间 CO_2 浓度下的羧化效率,即有:

$$P_n'(C_i)=a\frac{1-2bC_i-bcC_i^2+(c+b)\Gamma}{(1+cC_i)^2}。 \quad (3)$$

由式(3)可知,当 $C_i=0$ 时,则有:

$$P_n'(C_i=0)=a[1+(c+b)\Gamma]。 \quad (4)$$

式(4)就是植物在光呼吸速率处的羧化效率。由于此时 CO_2 浓度等于0,为了与现在常用的羧化效率有所区别,在此定义其为植物的内禀羧化效率,用 φ_0 表示。

此外,由式(3)还可知,当 $C_i=\Gamma$ 时,有:

$$P_n'(\Gamma)=a\frac{1+(c-b)\Gamma-bc\Gamma^2}{(1+c\Gamma)^2}。 \quad (5)$$

式(5)就是植物在 CO_2 补偿点处的羧化效率,用 φ_Γ 表示。

如果将光合作用对 CO_2 浓度响应曲线上 $C_i=0$ 与 $C_i=\Gamma$ 两点连线斜率的绝对值用 φ_{r0} 表示,则有:

$$\varphi_{r0}=|R_p/\Gamma|=a。 \quad (6)$$

而 φ_0 与 φ_Γ 的差为:

$$\varphi_0-\varphi_\Gamma=\frac{a(b+c)}{c}[1+(b+c)\Gamma][1-1/(1+c\Gamma)^2]。 \quad (7)$$

从式(7)可以看出,对于同一种植物,当 CO_2 补偿点越大, φ_0 与 φ_Γ 之差也越大,光合作用对 CO_2 浓度的非线性响应越明显;当 CO_2 补偿点越小, φ_0 与 φ_Γ 之差也越小,光合作用对 CO_2 浓度的非线性响应越不明显。

另外,由式(6)和式(5)可知, φ_{r0} 与 φ_Γ 的差为:

$$\varphi_{r0}-\varphi_\Gamma=\frac{a(b+c)}{c}(1+\frac{1}{1+c\Gamma})。 \quad (8)$$

同样,对于同一种植物,从式(8)可以看出,当 CO_2 补偿点越大, φ_{r0} 与 φ_Γ 之差也越大,光合作用对 CO_2 浓度的非线性响应越明显;当 CO_2 补偿点越小, φ_{r0} 与 φ_Γ 之差也越小,光合作用对 CO_2 浓度的非线性响应越不明显。所以,可用式(7)或式(8)判断植物在低 CO_2 浓度条件下,光合速率对 CO_2 浓度的响应问题。

如果用 C_{im} 表示植物的饱和 CO_2 浓度,则由式(3)可得:

$$C_{im}=\frac{\sqrt{(b+c)(1+c\Gamma)/b}-1}{c}。 \quad (9)$$

如果用 A_{\max} 表示植物的光合能力,则由式(1)可得:

$$A_{\max}=a\frac{1-bC_{im}}{1+cC_{im}}(C_{im}-\Gamma)。 \quad (10)$$

2 结果与分析

2.1 丹参光合作用对 CO_2 浓度的响应曲线

图1为丹参光合作用对 CO_2 响应的实测点与式(1)的拟合点。对比实测点与由新模型拟合点可知,理论值与实测值符合得非常好(决定系数 $R^2=0.9996$),表明新模型可以拟合丹参的 CO_2 响应测量数据。从图1可知,丹参的光合速率随胞间 CO_2 浓度的增加而升高,当增加到饱和 CO_2 浓度时光合速率最大,随后光合速率基本上不再随 CO_2 浓度增加而升高。

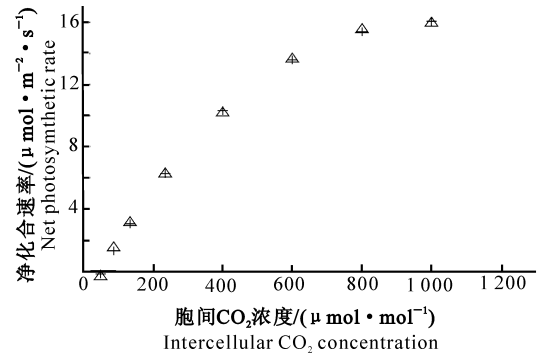


图 1 丹参光合作用对 CO_2 的响应曲线

Fig.1 CO_2 response curve of photosynthesis of *S. miltiorrhiza*
△.Measured points; +.Fitted points

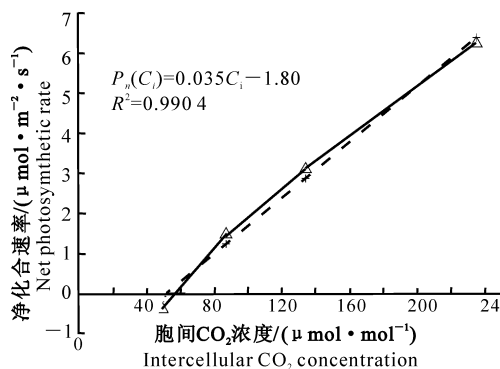
表1给出了由Michaelis-Menten模型、二项式回归方法与新模型拟合所得的丹参主要光合参数。对比这3种模型的拟合结果可以看出,新模型拟合值与实测值最为接近。

2.2 丹参净光合速率对 CO_2 浓度的响应与羧化效率

羧化效率反映了植物在给定条件下对 CO_2 的同化能力。由低浓度下($250 \mu\text{mol/mol}$ 以下) CO_2 浓度与光合速率的相关方程(图2)可知:丹参的羧化效率为 $0.035 \text{ mol}/(\text{m}^2 \cdot \text{s})$,远低于用Michaelis-Menten模型拟合所得到的羧化效率 $0.075 \text{ mol}/(\text{m}^2 \cdot \text{s})$ (表1)。此外,从图2还可以看出,尽管用直线方程拟合的决定系数 $R^2=0.9904$,但用 CO_2 响应新模型拟合的决定系数 $R^2=0.9996$,实测点与拟合点符合得很好(图3),表明新模型可以更好地处理丹参在低 CO_2 浓度下的 CO_2 响应问题。

表1 3种光合作用对CO₂浓度响应模型拟合结果与实测结果的比较Table 1 Results of three models and methods of CO₂-response of photosynthesis and values of experimental measurement

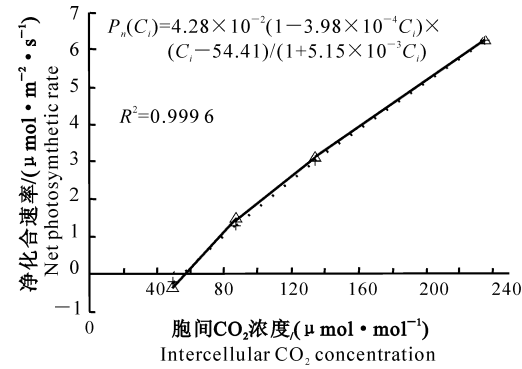
光合参数 Photosynthetic parameter	Michaelis - Menten 模型 Michaelis - Menten model	二项式回归 Binomial regression	新模型 New model	实测值 Measured data
光合能力/(μmol·m ⁻² ·s ⁻¹) Photosynthetic capacity (A_{max})	26.85	16.84	16.21	≈16
羧化效率/(mol·m ⁻² ·s ⁻¹) Carboxylation efficiency (EC)	0.075	无 No	无 No	无 No
CO ₂ 补偿点处的羧化效率/(mol·m ⁻² ·s ⁻¹) Carboxylation efficiency at CO ₂ compensation point (φ_r)	0.035	0.036	0.041	无 No
CO ₂ 补偿点/(μmol·mol ⁻¹) CO ₂ compensation point	30.0	45.98	54.41	≈54
饱和CO ₂ 浓度/(μmol·mol ⁻¹) Saturation CO ₂ concentration	818.57	1 013.11	1 040.54	≈1 050
光呼吸速率/(μmol·m ⁻² ·s ⁻¹) Photorespiration (R_p)	-3.92	-1.64	-2.33	无 No
CO ₂ 补偿点与光呼吸处连线的斜率/(mol·m ⁻² ·s ⁻¹) Slope between photorespiration and CO ₂ compensation point (φ_{r0})	0.075	0.035	0.043	无 No
内禀羧化效率/(mol·m ⁻² ·s ⁻¹) Intrinsic carboxylation efficiency (φ_0)	0.075	0.035	0.045	无 No
R^2	0.9925	0.9979	0.9996	无 No

图2 丹参在低CO₂浓度下的直线回归

△. 实测点; +. 拟合点

Fig.2 Line regression for *S. miltiorrhiza* at low CO₂ concentration

△. Measured points; +. Fitted points

图3 新模型拟合丹参在低CO₂浓度时的响应曲线

△. 实测点; +. 拟合点

Fig.3 CO₂ response curve simulated by new model for *S. Miltorrhiza* at low CO₂ concentration

△. Measured points; +. Fitted points

由表1的数据可知,对于丹参,显然存在:

$$\varphi_{r0} - \varphi_r = 0.002 > 0, \quad (11)$$

和

$$\varphi_0 - \varphi_r = 0.004 > 0. \quad (12)$$

且总是存在如下关系:

$$\varphi_0 > \varphi_{r0} > \varphi_r. \quad (13)$$

3 讨 论

(1)将光合作用对CO₂响应新模型拟合丹参的CO₂响应数据所得结果,与Michaelis-Menten模型和二项式回归方法拟合的结果进行比较可知,新模型拟合结果与实测值最为接近($R^2=0.9996$),且不需要作任何附加假设,就可以计算出丹参的光合参数,如饱和CO₂浓度、光合能力、光呼吸速率、CO₂补偿点和在CO₂补偿点的羧化效率等,克服了Michaelis-Menten模型在求丹参饱和CO₂浓度时所

遇到的困难,即用Michaelis-Menten模型拟合丹参实测数据给出的光合能力为26.85 μmol/(m²·s),远大于实测值的约16 μmol/(m²·s),超过实测值67.8%;所得丹参的饱和CO₂浓度为818.57 μmol/mol,低于实测值的约1 050 μmol/mol;所得丹参CO₂补偿点为30.0 μmol/mol,低于实测值的约54 μmol/mol。由二项式回归方法拟合所得丹参的主要光合参数与实测值相近,但光合能力要高于实测值,而CO₂补偿点略小于实测值。

(2)在丹参的CO₂补偿点附近,由新模型给出 $\varphi_r = 0.041 \mu\text{mol}/(\text{m}^2 \cdot \text{s})$, $\varphi_{r0} = 0.043 \mu\text{mol}/(\text{m}^2 \cdot \text{s})$, $\varphi_0 = 0.045 \mu\text{mol}/(\text{m}^2 \cdot \text{s})$,也即在光合作用对CO₂浓度响应曲线上,这3个斜率是不相等的,由此可以肯定丹参在CO₂补偿点附近的羧化效率不是常数,而是随CO₂浓度的增加而降低。这表明在低CO₂浓度时,丹参的光合速率对CO₂浓

度的响应是非线性的。

(3)新模型可以处理植物低CO₂浓度下,光合速率对CO₂浓度的响应问题,尤其是在CO₂补偿点以下时光合作用对CO₂浓度的响应问题,这是Michaelis-Menten模型所无法解决的。因为Michaelis-Menten模型给出 $\varphi_{r0} = \varphi_0 = CE = 0.075 \text{ mol}/(\text{m}^2 \cdot \text{s})$,由数学知识可知,在丹参的CO₂补偿点以下光合速率对CO₂浓度的响应是线性的,这与事实不符(图2和图3)。此外,由Michaelis-Menten模型给出的羧化效率为0.075 mol/(m²·s),远大于低CO₂浓度(250 μmol/mol以下)时由直线拟合所得的0.035 mol/(m²·s);这表明用Michaelis-Menten模型所给出的羧化效率与实际值不符。所以,在应用Michaelis-Menten模型时,为了给出植物的羧化效率就必须重新拟合低CO₂浓度(250 μmol/mol以下)的数据。另外,本研究在拟合丹参低CO₂浓度(250 μmol/mol以下)的数据时发现,拟合不同CO₂浓度所给出的羧化效率值是不同的,也即丹参的羧化效率并不是惟一的。由此可知,羧化效率作为一个评判在给定条件下CO₂同化能力的指标,显然是不理想的。

总之,植物光合作用对CO₂响应新模型可以处理丹参的光合作用对CO₂的响应问题,包括丹参在低CO₂浓度条件下的响应问题,其克服了Michaelis-Menten模型拟合植物CO₂浓度响应数据所遇到的困难——光合能力远大于实验测量值^[3-4,5-7,9,14],而植物的饱和CO₂浓度远小于实测值^[3-4,9,14],因而新模型比Michaelis-Menten模型更具普适性。

〔参考文献〕

- [1] 许大全.光合作用效率[M].上海:上海科学技术出版社,2002:44,62,104.
Xu D Q. Photosynthetic efficiency [M]. Shanghai: Shanghai Technology Science Press, 2002:44,62,104. (in Chinese)
- [2] Long S P. Modification of the response of photosynthetic productivity to rising temperature by atmospheric CO₂ concentration: has its importance been underestimated [J]. Plant Cell Environ, 1991, 14:729-739.
- [3] 项文化,田大伦,闫文德,等.白栎光合特性对二氧化碳浓度增加和温度升高的响应[J].浙江林学院学报,2004,21(3):247-253.
Xiang W H, Tian D L, Yan W D, et al. Photosynthetic responses of *Quercus fabri* leaves to increase in CO₂ concentration and temperature [J]. J Zhejiang Fore College, 2004, 21(3): 247-253. (in Chinese)
- [4] Farquhar G D, Caemmerer S, Berry J A. A biochemical model of photosynthetic CO₂ assimilation in leaves of C₃ species [J]. Planta, 1980, 149:78-90.
- [5] 陈根云,俞冠路,陈 悅,等.光合作用对光和二氧化碳响应的观测方法讨论[J].植物生理与分子生物学学报,2006,32(6):691-696.
Chen G Y, Yu G L, Chen Y, et al. Exploring the observation methods of photosynthetic responses to light and carbon dioxide [J]. J Plant Physiol Mol Biol, 2006, 32(6):691-696. (in Chinese)
- [6] Brook S A, Farquhar G D. Effect of temperature on the CO₂/O₂ specificity of ribulose-1,5 bisphosphate carboxylase/oxygenase and the rate of respiration in light, Estimates from gas exchange measurement on spinach [J]. Planta, 1985, 165: 397-406.
- [7] Olsson T, Leverenz J W. Non-uniform stomatal closure and the apparent convexity of the photosynthetic photo flux density response curve [J]. Plant Cell Environ, 1994, 17:701-710.
- [8] 孙谷畴,赵 平,曾小平,等.倍增CO₂分压对水稻和礁子草冠层光合潜力的影响[J].生态学杂志,2003,22(4):1-5.
Sun G C, Zhao P, Zeng X P, et al. Effects of double CO₂ partial pressure on the canopy potential photosynthesis of *Oryza sativa* and *Leptochloa panacea* [J]. Chin J Ecol, 2003, 22(4):1-5. (in Chinese)
- [9] 高 峻,孟 平,吴 斌,等.杏—丹参林药复合系统中丹参光合和蒸腾特性的研究[J].北京林业大学学报,2006,28:64-67.
Gao J, Meng P, Wu B, et al. Photosynthesis and transpiration of *Salvia miltiorrhiza* in tree-herb system of *Prunus dulcis* and *Salvia miltiorrhiza* [J]. J Beijing Forest Uni, 2006, 28: 64-67. (in Chinese)
- [10] 吴吉林,李永华,叶庆生.美丽异木棉光合特性的研究[J].园艺学报,2005,32(6):1061-1064.
Wu J L, Li Y H, Ye Q S. Studies on photosynthesis characteristics of *Chorisia speciosa* [J]. Acta Horticulturae Sinica, 2005, 32(6):1061-1064. (in Chinese)
- [11] 付为国,李萍萍,卞新民,等.镇江北固山湿地芦苇光合日变化的研究[J].西北植物学报,2006,26:496-501.
Fu W G, Li P P, Bian X M, et al. Diurnal photosynthetic changes of *Phragmites communis* in the wetland lying in Beigushan mountain of Zhenjiang prefecture [J]. Acta Bot Boreal Occident Sin, 2006, 26:496-501. (in Chinese)
- [12] 黄 鹏,夏汉平,蔡锡安.遮光处理对三种钝叶草的生长习性与光合特性的影响[J].生态学杂志,2006,25(7):759-764.
Huang J, Xia H P, Cai X A. Effects of shading on growth and photosynthesis of three species of the genus *Stenotaphrum* [J]. Chin J Ecol, 2006, 25(7): 759-764. (in Chinese)
- [13] 唐启义,冯明光.DPS数据处理系统软件[R].杭州:杭州睿丰信息技术有限公司,2006.
Tang Q Y, Feng M G. Design experiment processing of data simulation analysis[R]. Hangzhou: Refine Information Tech Co Ltd, 2006. (in Chinese)
- [14] Yu Q, Zhang Y Q, Liu Y F, et al. Simulation of the stomatal conductance of winter wheat in response to light, temperature and CO₂ changes [J]. Ann Bot, 2004, 93:435-441.